

2 Perturbative Renormierung

2.1 Quantenfeldtheoretische Grundlagen

Physikalische Information (Teilchenspektren, Wirkungsquerschnitte, Zeitentwicklung, etc.) wird in der QFT aus Korrelationsfunktionen extrahiert.

Pfadintegraldefinition:

$$\begin{aligned} \langle 0 | T [\phi(x_1, t_1) \dots \phi(x_n, t_n)] | 0 \rangle \\ = \frac{\int \mathcal{D}\phi \phi(x_1, t_1) \dots \phi(x_n, t_n) e^{iS[\phi]}}{\int \mathcal{D}\phi e^{iS[\phi]}} \end{aligned} \quad (2.1)$$

n -Punkt Funktionen

Diese Informationen sind zusammengefasst im Schwinger-Funktional: erzeugendes Funktional der n -Punkt Funktionen (in Folgenden genügt es, im Euklidischen zu arbeiten):

$$Z[J] = \exp W[J] = \int \mathcal{D}\phi e^{-S[\phi] + \int J\phi} \quad (2.2)$$

$$\Rightarrow \langle 0 | T [\phi(x_1) \dots \phi(x_n)] | 0 \rangle = \frac{1}{Z[0]} \frac{\delta^n}{\delta J_1 \dots \delta J_n} Z[J] \Big|_{J=0} \quad (2.3)$$

W[J]: erzeugendes Funktional der zusammenhängenden Green's Funktionen

(nicht-zusammenh. Green's Funktionen lassen sich durch direkte Produkte von zus'h. darstellen)

Noch effizienter ist die Effektive Wirkung:

$$\text{Def.: "klassisches" Feld: } \phi := \langle X \rangle_J = \frac{1}{Z[J]} \frac{\delta Z[J]}{\delta J} = \frac{\delta W}{\delta J} \quad (2.4)$$

$$\Rightarrow \phi = \phi[J]$$

Def.: effektive Wirkung mittels Legendre Transform:

$$\Gamma[\phi] = -W[J] + \int J\phi, \quad \text{mit } J = J[\phi] \quad (2.5)$$

$$\Rightarrow \frac{\delta \Gamma[\phi]}{\delta \phi} = - \underbrace{\int \frac{\delta W[J]}{\delta J} \frac{\delta J}{\delta \phi}}_{=\phi} + \int \frac{\delta J}{\delta \phi} \phi + J = \underline{J} \quad (2.6)$$

Bestimmungsgleichung für $\Gamma[\phi]$:

$$e^{-\Gamma[\phi] + \int J\phi} = e^{W[J]} = \int \mathcal{D}X e^{-S[X] + \int JX}$$

$$\Rightarrow \underline{e^{-\Gamma[\phi]}} = \int_1 \mathcal{D}X e^{-S[X] + \int \frac{\delta \Gamma[\phi]}{\delta \phi} (X - \phi)}$$

$$= \int_1 \mathcal{D}X e^{-S[X+\phi] + \int \frac{\delta \Gamma[\phi]}{\delta \phi} X} \quad (2.7)$$

Funktionale Integro-Differentialgleichung

Vertice - Entwicklung :

$$\Gamma[\varphi] = \sum_{n=0}^{\infty} \frac{1}{n!} \int_{x_1, \dots, x_n} \Gamma^{(n)}(x_1, \dots, x_n) \varphi(x_1) \dots \varphi(x_n) \quad (2.8)$$

$$\overset{FT}{=} \sum_{n=0}^{\infty} \frac{1}{n!} \int_{p_1, \dots, p_n} \delta(p_1 + \dots + p_n) \Gamma^{(n)}(p_1, \dots, p_n) \varphi(p_1) \dots \varphi(p_n)$$

[Einsetzen von (2.8) in (2.7) ergibt die Dyson-Schwinger Gleichungen]

$\Gamma^{(n)}$: eigentliche Vertices (proper vertices)
 \cong 1-PI Green's Funktionen (1-Teilchen irreduzibel)

n-Punkt Funktionen können aus den $\Gamma^{(n)}$ rekonstruiert werden. Es zeigt sich, daß insbesondere die Divergenzanalyse anhand des $\Gamma^{(n)}$ einfacher ist.

Störungstheoretische Berechnung von $\Gamma[\varphi]$: Beispiel : 1-loop Ordnung

$$e^{-\Gamma[\varphi]} = \int_{\lambda} \mathcal{D}\lambda e^{-S[\varphi] - \underbrace{\left(\frac{\delta S[\varphi]}{\delta \lambda} - \frac{\delta \Gamma[\varphi]}{\delta \varphi} \right) \lambda}_{\mathcal{O}(\hbar)} - \int \lambda \frac{\delta^2 S[\varphi]}{\delta \lambda \delta \lambda} \lambda + \mathcal{O}(\hbar^3)}$$

$$\approx e^{-S[\varphi]} \det_{\lambda}^{-1/2} \frac{\delta^2 S[\varphi]}{\delta \lambda \delta \lambda}$$


$$\Rightarrow \Gamma[\varphi] = S[\varphi] + \Gamma^1[\varphi] \quad (2.9)$$

$$\text{mit } \Gamma^1[\varphi] = \frac{1}{2} \ln \det S^{(2)}[\varphi] = \frac{1}{2} \text{Tr} \ln S^{(2)}[\varphi]$$

2.2 Divergenzen in Störungstheorie (Beispiel)

Beispiel: ϕ^3 Theorie auf 1-loop Niveau

$$S[\phi] = \int d^d x \left[\frac{1}{2} (\partial_\mu \phi)^2 + \frac{1}{2} m^2 \phi^2 + \frac{1}{3!} g \phi^3 \right] \quad (2.10)$$

((NB)) Die Theorie ist eigentlich unphysikalisch, da das Potential nicht nach unten beschränkt ist .

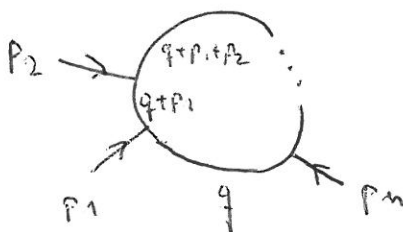
Es existiert aber eine wohldefinierte pert. Entwicklung, und die 3er-Vertex-Struktur taucht in vielen physikalischen Theorien auf.)

$$S^{(2)}[\phi] = -\partial^2 + m^2 + g \phi(x) \quad (2.11)$$

$$\begin{aligned} \Rightarrow \Gamma^1[\phi] &= \frac{1}{2} \int d^d x \langle x | \ln(-\partial^2 + m^2 + g \phi) | x \rangle \\ &= \frac{1}{2} \int d^d x \langle x | \ln \left(1 + \frac{1}{-\partial^2 + m^2} g \phi \right) | x \rangle + \text{const} \\ &= -\frac{1}{2} \sum_{n=1}^{\infty} \frac{(-1)^n}{n} \int d^d x \langle x | \left(\frac{1}{-\partial^2 + m^2} g \phi(x) \right)^n | x \rangle \end{aligned} \quad (2.12)$$

\Rightarrow eigentlichen Vertizes:

$$\Gamma^{(n)+\text{loop}}(p_1, \dots, p_n) = -\frac{(n-1)!}{2} (-g)^n \int \frac{d^d q}{(2\pi)^d} \frac{1}{q^2 + m^2} \frac{1}{(q+p_1)^2 + m^2} \dots \frac{1}{(q+p_1+\dots+p_n)^2 + m^2} \quad (2.13)$$



Das UV-Verhalten der loop-Integration $q^2 \gg p_1^2, \dots, p_n^2, m^2$ ist

$$\Gamma^{(n)} \sim \int d^d q \ q^{-2n} \quad (2.14)$$

divergiert also für $d \geq 2n$!

$d=1$: alle Korrelationsfunktionen sind endlich (Quantenmechanik)

$d=2$: die 1-Punkt Funktion divergiert ("tadpole")

$$\Gamma^{(1) \text{ loop}} \approx \frac{g}{2} \int \frac{d^d q}{(2\pi)^d} \frac{1}{q^2 + m^2} \quad (2.15)$$

⋮

$d=6$: (1-3)er Vertices divergieren

Regularisierung: Beschränkung der Impulsintegration auf Impulsraumkugel $|q| < \Lambda$, mit $\Lambda^2 \gg p_1^2, \dots, p_n^2, m^2$ (cut-off Regularisierung)

Bestimmung der Divergenzen durch Entwicklung in p_1, \dots, p_n, m^2 ,

z.B.

$$\begin{aligned} \Gamma_{\text{div}}^{(1) \text{ loop}} &= \frac{g}{2} \int \frac{d^d q}{(2\pi)^d} \frac{1}{q^2 + m^2} = \frac{g}{2} \int \frac{d^d q}{(2\pi)^d} \left(\frac{1}{q^2} - \frac{m^2}{q^4} + \frac{m^4}{q^6} + \mathcal{O}\left(\frac{1}{q^8}\right) \right) \\ &= \underbrace{V_{\text{IR}}}_{=\pi^3} \int \frac{d^d q}{(2\pi)^d} q^5 \\ &= \frac{g}{2^7 \pi^3} \left[\frac{\Lambda^4}{4} - \frac{m^2 \Lambda^2}{2} + m^4 \ln \frac{\Lambda}{m} + \mathcal{O}(1) \right] \quad (2.16a) \\ &\quad \nwarrow \text{IR cut bei } m! \end{aligned}$$

Ähnlich folgen:

$$\Gamma_{\text{div}}^{(2) \text{loop}} = - \frac{g^2}{2^7 \pi^3} \left[\frac{\Lambda^2}{2} - (2m^2 + \frac{p^2}{3}) \ln \frac{\Lambda}{m} + \mathcal{O}(1) \right] \quad (2.16b)$$

$$\Gamma_{\text{div}}^{(3) \text{loop}} = \frac{g^3}{2^6 \pi^3} \ln \frac{\Lambda}{m} \quad (2.16c)$$

Warum $d=6$? $d=6$ ist speziell, weil Divergenzen nur in den Vertices auftreten, die maximal in der ursprünglichen Wirkung vorkommen:

$$S[\phi] = \int \Gamma^{(1)0} \phi + \frac{1}{2} \int \Gamma^{(2)0} \phi^2 + \frac{1}{3!} \int \Gamma^{(3)0} \phi^3$$

mit $\Gamma^{(1)0} = 0$ (kann aber durch Shift $\phi \rightarrow \phi + \text{const}$ generiert werden)

$$\Gamma_{(p)}^{(2)0} = p^2 + m^2$$

$$\Gamma_{(p_1, p_2, -p_1-p_2)}^{(3)0} = g \quad (2.17)$$

Noch dazu ist die Abh. der Divergenzen vom äußeren Impuls gleich der Impuls abh. der "nackten" Vertices $\Gamma^{(n)0}$.
z.B. in $d=8$ ist $\Gamma_{\text{div}}^{(4) \text{loop}}$ divergent, aber $\Gamma^{(4)0} = 0$.

Entfernung der Divergenzen

Divergender Anteil des 1-loop Wirkung in $d=6$:

$$\Gamma_{\text{div}}^1 = \int d^6x \left[g a_1(\Lambda) \Phi(x) + \frac{1}{2} g^2 a_2(\Lambda) (\partial_\mu \Phi)^2 + \frac{1}{2} g^2 a_3(\Lambda) \Phi^2(x) + \frac{1}{3!} g^3 a_4(\Lambda) \Phi^3(x) \right] \quad (2.18)$$

mit (vgl. (2.16))

$$a_1(\Lambda) = \frac{1}{2^7 \pi^3} \left(\frac{\Lambda^2}{4} - \frac{m^2 \Lambda^2}{2} + m^4 \ln \frac{\Lambda}{m} \right)$$

$$a_2(\Lambda) = \frac{1}{3 \cdot 2^7 \pi^3} \ln \frac{\Lambda}{m} \quad (2.19)$$

$$a_3(\Lambda) = \frac{1}{2^7 \pi^3} \left(-\frac{\Lambda^2}{2} + 2m^2 \ln \frac{\Lambda}{m} \right)$$

$$a_4(\Lambda) = \frac{1}{2^6 \pi^3} \ln \frac{\Lambda}{m^2}$$

Der Ursprung der Divergenzen liegt darin, daß Fluktuationen auf allen Skalen zu den Vertexfunktionen beitragen.

Physikalisches Problem:

Was haben die Niederenergiemeßgrößen (Masse, Kopplung, Amplitude), die mit den vollen Vertexfunktionen zusammenhängen, zu tun mit den Parametern der "nackten" Wirkung g, m^2, Φ , welche die Hochenergieparameter der mikroskopischen Theorie bei Skala Λ bezeichnen?

Idee: Fixiere Masse, Kopplung, Amplitude, etc. an einem Renormierungspunkt μ (z.B. Niederenergiemeßskala) auf die Werte m_R, g_R, Φ_R durch

Renormierungsbedingungen an die vollen Vertices:

z.B. $\mu=0$:

$$\Gamma^{(2)}_{(p^2 \rightarrow 0)} = m_R^2 \quad (\text{fixiert phys. Masse}) \quad (2.20a)$$

$$\frac{\partial}{\partial p^2} \Gamma^{(2)}_{(p^2 \rightarrow 0)} = 1 \quad (\text{fixiert Feldamplituden-} \\ \text{normierung}) \quad (2.20b)$$

$$\Gamma^{(3)}_{(p_1=p_2=p_3=0)} = g_R \quad (\text{fixiert phys. Kopplung}) \quad (2.20c)$$

\Rightarrow renormierte Parameter stimmen mit Niederenergie-experimenten ($p^2 \rightarrow 0$) überein (allgemeiner: fixierte Parameter bei $p^2 \rightarrow \mu^2$ beliebig).

(NB: Während m_R und g_R "echter" physikalischer Input sind, stellt (2.20b) lediglich eine Normierungsvorschrift dar; Reskalierungen des Feldes lassen die Physik weiterhin invariant)

Renormierte Störungstheorie:

Entwicklung um g_R :

$$\begin{aligned}
 S[\phi] &\equiv S_A[\phi] = \int \left(\frac{1}{2} \phi (-\partial^2 + m^2) \phi + \frac{1}{3!} g \phi^3 \right) \\
 &\equiv S_R[\phi_R] + \delta S_R[\phi_R] \\
 &= \int \left[\frac{1}{2} \phi_R (-\partial^2 + m_R^2) \phi_R + \frac{1}{3!} g_R \phi_R^3 \right. \\
 &\quad \left. + \frac{1}{2} (z_\phi - 1) (\partial_\mu \phi_R)^2 + \frac{1}{2} \delta m^2 \phi_R^2 + \frac{1}{3!} g_R (z_g - 1) \phi_R^3 \right] \leftarrow \text{counter terms}
 \end{aligned} \tag{2.21}$$

wobei $\phi = z_\phi^{1/2} \phi_R$ (z_ϕ : Wellenfunktionsrenormierung)

$g = g_R \frac{z_g}{z_\phi^{3/2}}$ (z_g : Kopplungsrenormierung) (2.22)

$$m^2 = (m_R^2 + \delta m^2) \frac{1}{z_\phi}$$

$z_\phi, z_g, \delta m^2$ den Zusammenhang zwischen nackten und renormierten Größen parametrisieren.

Annahme: $z_\phi, z_g, \delta m^2$ besitzen eine Entwicklung in

$$g_R, \text{ so da\ss } (z_\phi - 1), \delta m^2, (z_g - 1) = \mathcal{O}(g_R^2) \tag{2.23}$$

\Rightarrow 2. Zeile von (2.21) ist von gleicher Ordnung wie 1-loop Beitrag zur Wirkung

\Rightarrow 1-loop Rechnung mu\ss nur mit $S_R[\phi_R]$ gemacht werden

$$\begin{aligned}
 \Rightarrow \Gamma[\Phi_R] &= S_\Lambda[\Phi] + \frac{1}{2} \text{Tr} \ln S_\Lambda^{(2)}[\Phi] + \mathcal{O}(2\text{-loop}) \\
 &= S_R[\Phi_R] + \delta S_R[\Phi_R] + \frac{1}{2} \text{Tr} \ln S_R^{(2)}[\Phi_R] + \mathcal{O}(2\text{-loop})
 \end{aligned}
 \tag{7.24}$$

Die Renormierungsbedingungen (7.20) legen nun die Zusammenhänge $Z_\phi, Z_g, \Delta m^2$ fest. Insbesondere für die divergenz Anteil gilt wegen (7.20)

$$\Gamma[\Phi_R] = \mathcal{O}(\Lambda^0) \tag{7.25}$$

$$\Rightarrow \delta S_R[\Phi_R] + \frac{1}{2} \text{Tr} \ln S_R^{(2)}[\Phi_R] = \mathcal{O}(\Lambda^0)$$

Mit (7.18) für Störungsrechnung um g_R ,

$$\frac{1}{2} \text{Tr} \ln S_R^{(2)}[\Phi_R] = \int d^6x \left[g_R a_1(\Lambda) \Phi_R + \frac{1}{2} g_R^2 a_2(\Lambda) (\Phi_R)^2 + \frac{1}{2} g_R^2 a_3(\Lambda) \Phi_R^2 + \frac{1}{3!} g_R^3 a_4(\Lambda) \Phi_R^3 \right] \tag{7.26}$$

und $a_i(\Lambda)$ aus (7.19) folgt

$$Z_\phi = 1 - g_R^2 a_2(\Lambda)$$

$$Z_g = 1 - g_R^2 a_4(\Lambda) \tag{7.27}$$

$$\Delta m^2 = g_R^2 a_3(\Lambda)$$

\Rightarrow Annahme (7.23) ist selbstkonsistent!

$\Rightarrow \Gamma[\Phi_R]$ ist endlich ^{auf 1-loop}, und hängt nur von phys. Parametern ab!